

東北電力K.K.

曾根田春雄

"

○荒川高而

## 1. まえがき

第二豊実発電所（最大出力 57,100 kW）は、豊かな水量を誇る阿賀野川下流部に位置する既設豊実発電所（最大出力 56,400 kW）の過少設備を解消し、出力の尖頭化と河川の有効利用を計るために建設されたもので、昭和48年3月に着工し、50年8月に運用した調整池式発電所である。

当発電所建設工事において、内径34m、深さ46mの大型堅抗の振削を実施したので報告する。

## 2. 発電所の設計

発電所は、半地下式の構造で、地表から約20mの振削となる。オーブンカット工法では、振削量が膨大になると、欠円状断面（内径34m、高さ46m）の超大型堅抗と、逆巻びコンクリートライニングを施工しがち振削するこことして、振削量の減少につとめた。

当地点の地質は、かなり風化の進んだ花崗岩を主体とする軟質な岩盤（C～D級）で、施工時および発電所完成後の周辺地山の安全が重要な問題となつたので、十分な地質調査を行い、断壁群により岩盤が変質して軟化しているのが、かなりの深部においても確認されながら、今回、工法により施工できるものと判断した。ボーリングによる地質調査のほかに、深さ52m、断面3m×3mの試振削坑、延長9～12m、断面2m×2mの3本の試振削坑において、ブロックによる岩盤せん断試験、ジメリキによる岩盤楔形試験、弾性波速度測定、錐貫入計、鉄筋計による試振削坑周壁のうち領域測定を行い、岩盤の諸物性値を求めた。

## 3. 発電所周辺地山の安定に関する数値解析

電力中央研究所に委託して、振削時におりる発電所周辺地山の安定に関する数値解析を行つた。三次元有限要素法により、弹性、非均質、連続体として、発電所を中心とする半径100m、深さ105mの領域で、495節点、337個の六面体要素で表現し計算を行つた。要素に適用する諸物理常数は、地質調査および岩盤試験の結果に基づき、表-1のように定めた。外力は、地盤の自重による物体力荷重である。

計算結果によれば、振削面での変位は、最大で5mm程度の膨張がしが、また滑動に対する安全率は、ごく一部で除いて1.2以上があり、大体においては安定といえる。ただし、計算の仮定に配慮されていない風化による岩盤の劣化などの要素を考慮して、安全率1.5を判断の標準にすれば、振削空間が平面的に開窓して存在するEL77～EL125mの川側の一部はかなり不安定といえる。

## 4. 施工

数値解析の結果、岩盤だけでは立たず見通しがつらいが、実際の施工では、砕破による岩盤のやすり、風化による岩盤の劣化などが考えられるので、厚さ1.2mのコンクリートライニングを逆巻び施工することとした。

盤下げは、2.75～3.0mのペリカットで、仕上げ振削継ぎより2.5m残し、平面上3つの部分にわたり荒振削を行い。次に逆巻トンネル側壁施工の要領で、1スパン約12mの抜き振りを行い、ライニングコンクリートを打ち込み硬化させて残った部分の振削および打設を行つ。

大素量は、砕破によるやすりを嵌めながら小さくするが、1段階あたり0.3m程度にして。また、プレスプリントイングを施工して、振削継ぎの保持と周辺地山への影響を最小限にするようにした。

盤下げにおいては、地山の挙動を観測するため、EL98.000～EL83.500は錐貫入計、鉄筋計を用一のよう配置した。

表-1. 要素に適用する物理常数

地盤の範囲	ヤング率(GPa)	ボルツマン	単位重量(g/m³)	粘着力(kN/m)	内部摩擦角(°)
EL12500～EL77000	5.500	0.30	243	1.3	46
EL77000～EL20000	20.000	0.25	243	7.0	35

## 5. 発電所基礎補強工

49年10月5日発電所搬入台入口のコンクリートパラフックが発見され(振削盤標高はEL89.000)、遂に増大する傾向を示した。(図-2)

工期短縮のため、発電所走行クレーンを先行施工する計画を立て、クレーン軌の基礎の変位を極力防止しなければならぬ。この変位を防止するため、種々の基礎補強工を施工したので以下に記す。

### (1). PCロックボルト工

鋼棒はφ33mmで、やみけ領域の外側に定着せられたため、鋼棒の長さを21mとし、先端部1.0mをレジンにより固定したのと、降伏点荷重約100tonの50%まで緊張し、グラウトによって空隙を埋められた。49年10月25日から31日の間に20本施工し、その後12本施工しが、49年12月から3月にかけて6本切断された。

### (2). PCストラット工 (SEEE工法による)

PC鋼線は、SEEEストラットのF200(φ19×9.5, 断面積10.42cm<sup>2</sup>)を使用し、長さは30mで、15mをグラウトによって定着し、残り15mは自由に変位できるようにした。降伏点荷重は168tonであるが、緊張荷重は100tonとした。施工箇所は山側で、本数は10本である。工期は12月15日から3月31日まで1.5ヶ月である。

### (3). 鋼管ストラット工 (図-3)

座屈による許容荷重の減少を小さくするために、鋼管を3本たばねたストラットで施工した。φ609×12.7×3本が1つ、φ500×9.5×3本が1つである。長さは8.8~23.0mで、φ609×12.7×3本の許容座屈荷重は950tonである。また、コンタクト歪計により、ストラットの応力を測定して安全管理を行った。(図-4)

## 6. あとがき

予想以上の崩れ出しは、局部的に脆弱なものによるひびきおこしたものである。49年10月から翌年3月にかけての山側岩盤の崩れ出しは、亀裂面に1~3mmの赤褐色の粘土層とはなんだ岩盤が原因であり、また49年3月からの外側岩盤のすべり崩壊は、軟質化された青緑色~暗緑色の岩盤で、その断裂方向が振削方向に対して逆側になつたために生じたものである。

地質調査における岩盤の走向傾斜、断層マップの有無などをあくまでも非常に重要なことを痛感した。また、走向などの影響を有限要素法に入れて解析すれば、非常に有用があると思います。

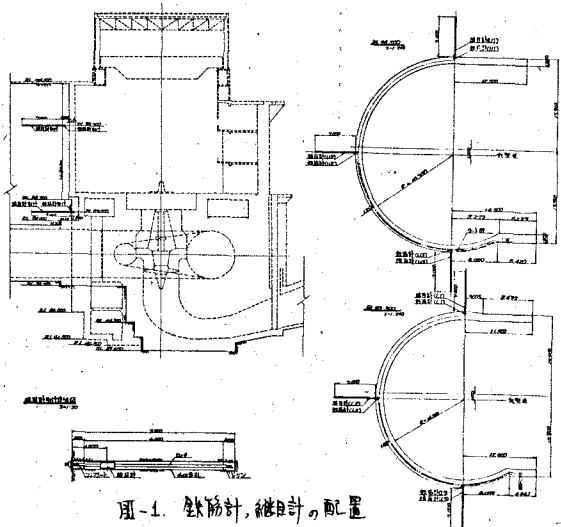


図-1. 鉄筋計、錨盤計の配置

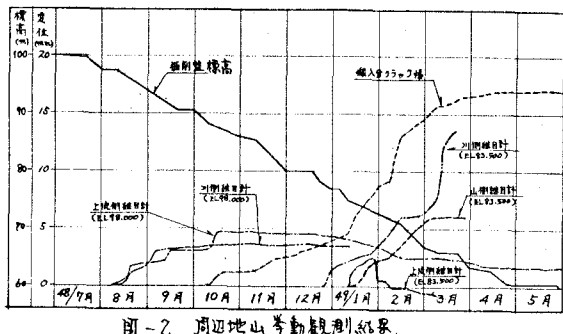


図-2. 周辺地山変動監視結果

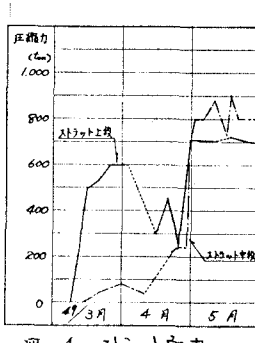


図-4. ストラット応力

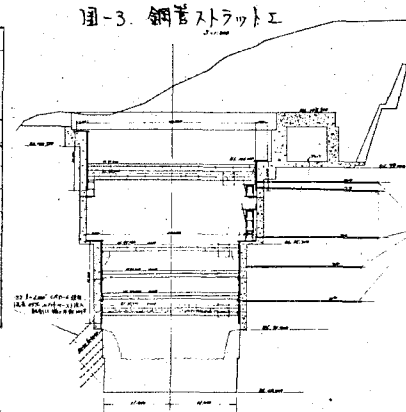


図-3. 鋼管ストラット工